

МИНИСТЕРСТВО СЕЛЬСКОГО ХОЗЯЙСТВА
РОССИЙСКОЙ ФЕДЕРАЦИИ

ФГБОУ ВО «Кубанский государственный
аграрный университет имени И. Т. Трубилина»

Архитектурно-строительный факультет

Кафедра сопротивления материалов

**НЕЛИНЕЙНЫЕ ЗАДАЧИ
СТРОИТЕЛЬНОЙ МЕХАНИКИ**

МЕТОДИЧЕСКИЕ УКАЗАНИЯ

по дисциплине
и для самостоятельной работы студентов специальности
08.05.01 Строительство уникальных
зданий и сооружений

Краснодар
КубГАУ
2019

Составители: П. Г. Пасниченко, А. Д. Гумбаров.

Нелинейные задачи строительной механики : метод. указания по дисциплине и для самостоятельной работы / сост. П. Г. Пасниченко, А. Д. Гумбаров. – Краснодар : КубГАУ, 2019. – 26 с.

Данные методические указания содержат задания для самостоятельного выполнения, указания по выполнению расчетов для студентов по дисциплине «Нелинейные задачи строительной механики».

Предназначено для студентов специальности 08.05.01 Строительство уникальных зданий и сооружений.

Рассмотрено и одобрено методической комиссией архитектурно-строительного факультета Кубанского государственного аграрного университета, протокол № 2 от 22.10.2019.

Председатель
методической комиссии



А. М. Блягоз

- © П. Г. Пасниченко,
А. Д. Гумбаров.,
составление, 2019
- © ФГБОУ ВО «Кубанский
государственный аграрный
университет имени
И. Т. Трубилина», 2019

ВВЕДЕНИЕ

Основная задача строительной механики - совершенствование известных и создание новых методов расчета конструкций на прочность, жесткость и устойчивость.

При этом алгоритмы расчета должны отвечать противоречивым требованиям: с одной стороны должна быть обеспечена безопасность сооружения, с другой – экономичность, причем понятие экономичности содержит не только приемлемую стоимость возведения и эксплуатации сооружения, но и стоимость проектных работ

Более точные механические модели позволяют глубже проникнуть в физическую сущность работы конструкции, более правильно оценить распределение внутренних усилий, жесткость сооружения и, как следствие, позволяет повысить экономичность проектного решения. Одним из факторов уточнения расчетных схем сооружения является учет нелинейно-упругих и упруго-пластичных свойств материала. Известно, что, начиная с определенного уровня напряженно-деформированного состояния (н.д.с) сооружения, закон Гука, закон прямой пропорциональности у всех материалов перестает соблюдаться и заменяется нелинейной зависимостью между напряжениями (σ) и деформациями (ϵ).

Использование нелинейной зависимости между σ и ϵ в расчетах сооружения составляет сущность так называемой физической нелинейности.

Решение нелинейно-упругих и упруго-пластичных задач сопряжено со значительными математическими трудностями [6]. Многие задачи за пределами упругости до сих пор не имеют решения. Поэтому в нелинейной теории упругости и теории пластичности еще в большей степени, чем в теории упругости, имеют значение приближенные методы решения.

Наиболее распространенными из них являются методы, в которых нелинейная задача сводится к последовательности линейно-упругих задач. Впервые один из вариантов такого метода был предложен А.А.Илюшиным. В дальнейшем эта идея была развита в трудах И.А.Биргера

. В настоящем пособии рассматривается расчет статически неопределимых ферм, выполненных из нелинейно-упругого и упруго-пластического материала. При решении используется обобщенный метод переменных параметров упругости, описанный в работе.

В первой части данной работы излагается теория расчета ферм методом сил и методом перемещения, приводятся несложные иллюстрированные примеры. Материал первой части рекомендуется при изучении темы строительной механики: «Расчет строительных конструкций с учетом нелинейных свойств материала».

Во второй части работы приводятся более сложные примеры, формулируются темы УИРС.

§ 1 . Зависимости между напряжениями и деформациями

На рис 1 показаны типичные экспериментальные диаграммы растяжения для различных металлов (стали , алюминиевые и медные сплавы)

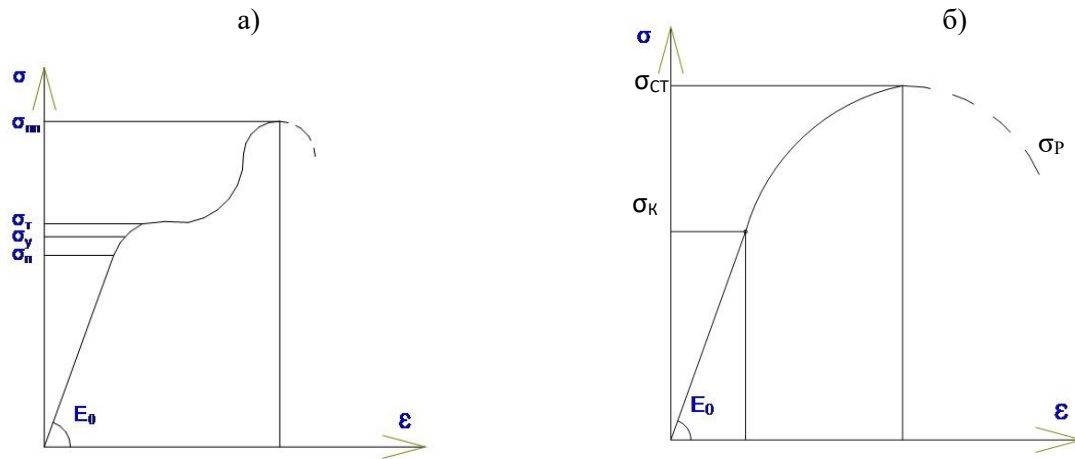


Рис . 1

Экспериментальные диаграммы имеют несколько характерных точек.

Предел пропорциональности σ_n определяет верхний предел напряжений , при которых соблюдается закон Гука .

Предел упругости σ_y - верхний предел напряжений , при которых материал при полной разгрузке не имеет остаточных деформаций . Разница между σ_y и σ_n невелика , поэтому эти точки иногда отождествляются .

Предел текучести σ_T – граница между упруго-пластическими и чисто пластическими деформациями. Эта точка определяет начало так называемой площадки текучести.

Предел прочности $\sigma_{\text{пн}}$ – соответствует точке максимума функции $\sigma=\sigma(\epsilon)$ в стадии упрочнения . Участок разрушения на рис.1 показан пунктиром .

Многие материалы не имеют четко выраженной площадки текучести (рис.1 б) участок нелинейной упругости плавно переходит в участок упруго-пластических деформаций. На таких диаграммах отмечается точка $\sigma=\sigma_k$ в которой кривизна функции $\sigma(\epsilon)$ имеет минимальное значение (радиус кривизны стремится к бесконечности). Напряжение σ_k в практических расчетах играет роль условного предела текучести .

Характерным напряжением, описанным выше, соответствуют деформации, которые обозначаются буквой ϵ с такими же индексами , что и у напряжений . Например , ϵ_T – деформация предела

текучности. Величины $E_K = \frac{d\sigma}{d\varepsilon}$; $E_C = \frac{\sigma}{\varepsilon}$ являются важными механическими характеристиками материала и называются соответственно касательными и секущими модулями (рис. 2)

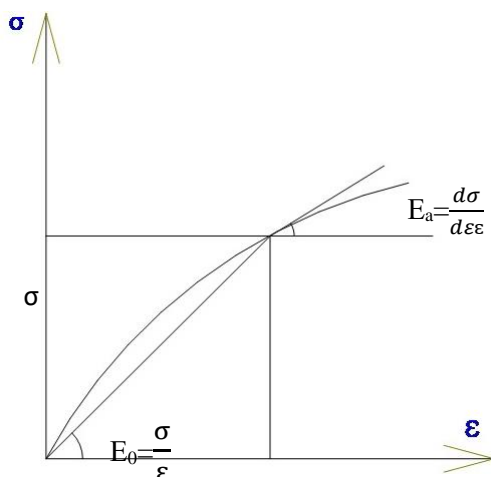


Рис . 2 .

В начале координат ($\varepsilon = 0$) касательный и секущий модули совпадают.

$$E_0 = \left. \frac{d\sigma}{d\varepsilon} \right|_{\varepsilon=0} = \left. \frac{\sigma}{\varepsilon} \right|_{\varepsilon=0}$$

Величина E_0 называется начальным модулем упругости . На площадке текучести $E_K=0$.

Реальные диаграммы деформирования , имеющие иногда довольно сложный вид , как , например , диаграммы, изображенные на рис 1 а , в практических расчетах аппроксимируют (заменяют в каком-либо смысле) близкими кривыми , описываемыми несложными аналитическими формулами. Приведем некоторые простейшие из них .

Степенной закон Бюльфингера (рис.3а)

$$\sigma = A^k, (0 < k < 1) . \quad (1)$$

A, K – константы материала . Величина A имеет размерность напряжений; k - безразмерная величина. При $k=0$ и $A=\sigma_T$ – закон деформирования для жестко-пластического тела, т.е тела , для которого предполагают , что материал является абсолютно жестким до достижения в нем напряжения σ_T и идеально пластичным после.

Недостаток зависимости (1) заключается в том , что в начале диаграммы $E_{0=\infty}$

$$E_0 = \left. \frac{d\sigma}{d\varepsilon} \right|_{\varepsilon=0} = KA\varepsilon^{K-1} \Big|_{\varepsilon=0} = \infty$$

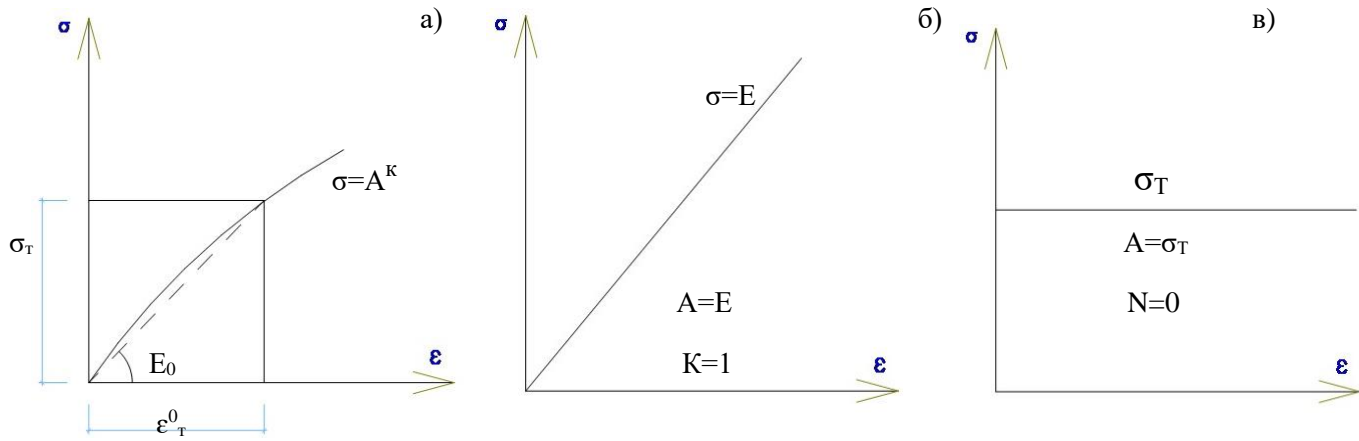


Рис . 3.

Этот недостаток исправляется введением начальной ветви диаграммы в виде прямой (на рис. За прямая изображена пунктиром) до точки , соответствующей условному пределу текучести .

Кубическая парабола

$$\sigma = E_0 - A^3 \quad (2)$$

Постоянная материала А определяется из условия , когда касательный модуль при $\varepsilon = \varepsilon_{пп}$ равняется нулю

$$\left. \frac{d\sigma}{d\varepsilon} \right|_{\varepsilon = \varepsilon_{пп}} = E_0 - 3A\varepsilon_{пп}^2 = 0 ;$$

Откуда

$$A = \frac{E_0}{3\varepsilon_{пп}} \quad (3)$$

Принимая во внимание , что при $\varepsilon = \varepsilon_{пп}$ - $\sigma = \sigma_{пп}$ после подстановки (3) В (2) , получим

$$\sigma_{пп} = \frac{2}{3} \sqrt{\frac{E_0^3}{3A}}$$

Откуда следует вторая формула для определения постоянной А

$$A = \frac{4}{27} \frac{E_0^3}{\sigma_{пп}^2}$$

Формула (2) обладает рядом достоинств. Она обеспечивает симметричность диаграммы относительно растяжения-сжатия; при $E \rightarrow 0$ $E_K \rightarrow E_0$; $E_C \rightarrow E_0$. Недостаток : формула (2) довольно приближенно аппроксимирует реальные диаграммы при больших деформациях .

Диаграмма с линейным упрочнением является едва ли не самой распространенной в практических расчетах (рис 4а) .

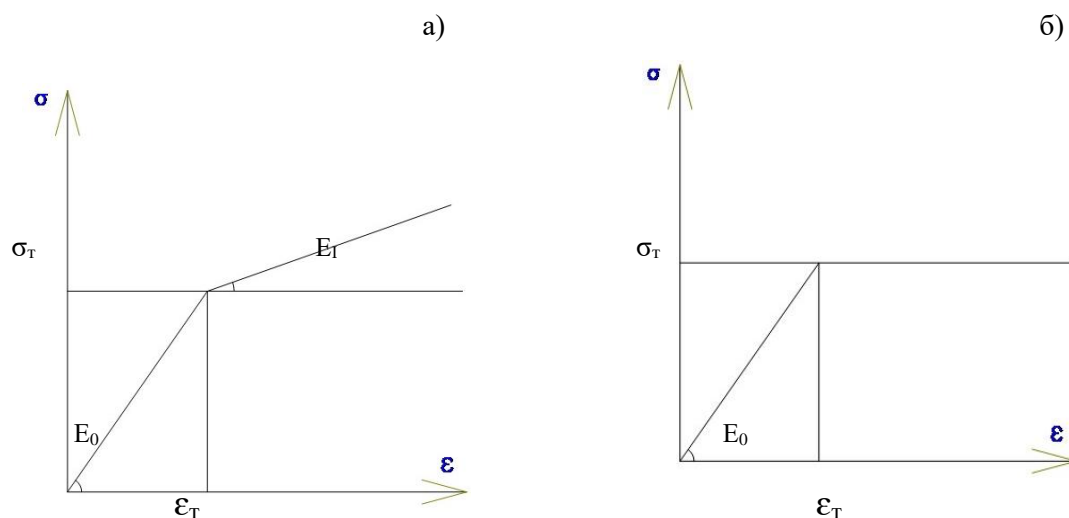


Рис . 4.

Если модуль упрочнения положить равным нулю ($E_1=0$), то получается диаграмма Прандтля для упруго-пластического тела, которую принимают для материалов с ярко выраженной площадкой текучести.

Настоящий параграф написан по книге [10], в которой достаточно подробно написаны наиболее распространенные аппроксимации экспериментальных диаграмм.

§2. Обобщенный метод переменных параметров упругости

Известно, что в шарнирно-стержневой системе при узловой нагрузке возникают только постоянные по длине стержней продольные силы. В дальнейшем изложении предполагается, что в пределах одного стержня его площадь поперечного сечения постоянна, поэтому постоянными будут напряжения (σ) и деформации (ϵ).

Рассмотрим дифференциальный элемент произвольного r -го стержня фермы (рис 5а)

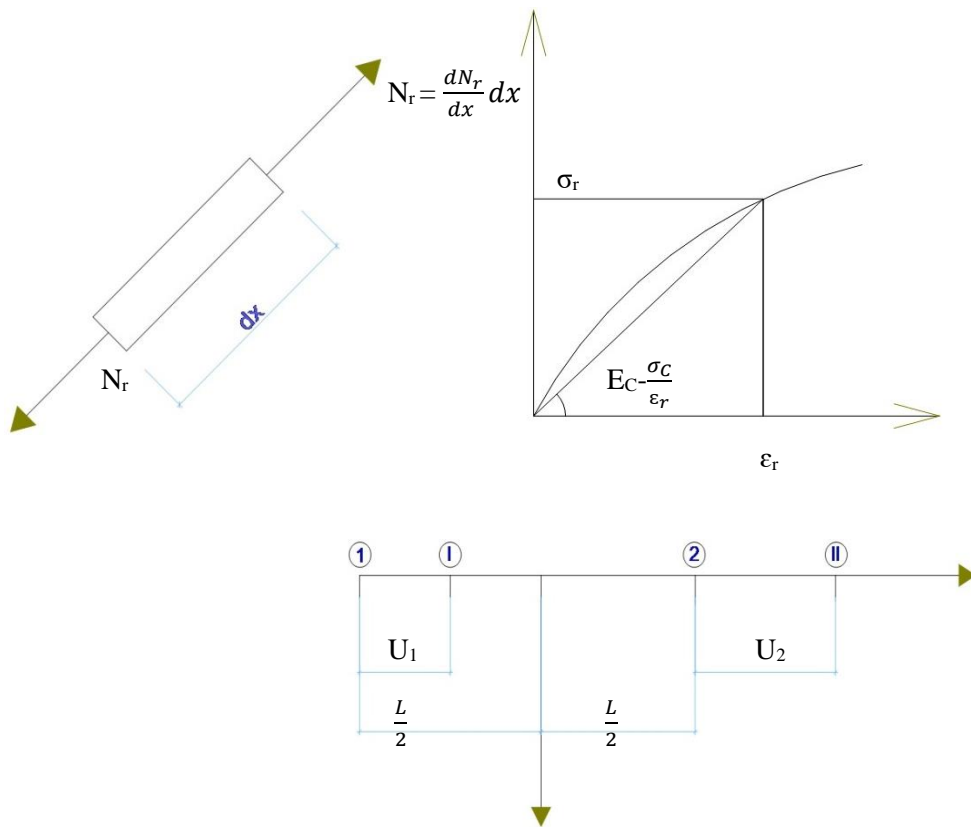


Рис.5.

Из условия равновесия $\sum x = 0$ имеем $\frac{dN_r}{dx} = 0$, но $N_r = F_r \sigma_r$, потому $\frac{d\sigma_r}{dx} = 0$,

Т.е. $\sigma_r = \text{const}$ в пределах r -го элемента, а по диаграмме деформирования (рис.5б)

$$\epsilon_r = \frac{\sigma_r}{E_{cr}} = \text{const} \quad (5)$$

Геометрическая зависимость для r -го стержня

$$\epsilon_r = \frac{dU}{dX}$$

Принимая во внимание (5), приходим к выводу, что

$$U = a_0 + a_1 X_p \quad (6)$$

Т.е осевое перемещение произвольного стержня изменяется по линейному закону .

Коэффициенты a_0 , a_1 в (б) обычно выражают через концевые перемещения u_1 и u_2 стержня (рис.5в). На рисунке шифрами I и 2 обозначены положения узлов до , а I и II- после деформации стержня . Принимая во внимание , что при $x = -\frac{l}{2} u = u_1$ а при $x = \frac{l}{2} u = u_2$, составим следующую

$$\text{систему уравнений} \begin{cases} a_0 - a_1 \frac{l}{2} = u_1 ; \\ a_0 + a_1 \frac{l}{2} = u_2 ; \end{cases}$$

Решение которой

$$\begin{Bmatrix} a_0 \\ a_1 \end{Bmatrix} = \begin{bmatrix} \frac{1}{2} & \frac{1}{2} \\ -\frac{1}{l} & \frac{1}{l} \end{bmatrix} \cdot \begin{Bmatrix} u_1 \\ u_2 \end{Bmatrix}$$

Подставим в выражение (б) и в результате получим

$$u = \{1 \quad x\} \begin{bmatrix} \frac{1}{2} & \frac{1}{2} \\ -\frac{1}{l} & \frac{1}{l} \end{bmatrix} \begin{Bmatrix} u_1 \\ u_2 \end{Bmatrix} \quad (6a)$$

Полная потенциальная энергия для шарнирно-стержневой системы может быть представлена в виде

$$P_1 = \sum_{r=1}^S F_r \int_{(e)} U_r dx - \sum_{k=1}^m U_K P_K \quad (\text{функция Лагранжа}) , \quad (7)$$

Где U_r –удельная потенциальная энергия деформации r-го стержня ;

U_K - узловые перемещения фермы в общей системе координат ;

P_K - внешние узловые силы в общей системе координат;

S - число стержней фермы;

m -число узловых перемещений, определяющих деформированное состояние фермы ;

Первое слагаемое в (7) – потенциал деформации в целом для всей фермы; второе слагаемое- потенциал внешних сил.

Удельная потенциальная энергия деформирования U_r – представляет собой площадь криволинейного треугольника (рис б) , заштрихованного вертикальными линиями

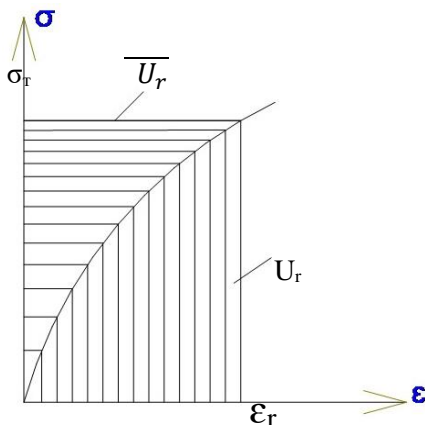


Рис . 6 .

Полную дополнительную энергию для фермы при отсутствии принудительных перемещений запишем в виде

$$P_2 = \sum_{r=1}^s F_r \int_{(l)} \overline{U}_r dx, \quad (\text{функционал Кастилиано}) \quad (8)$$

Где \overline{U}_r – удельная дополнительная энергия деформации r-го стержня .

На диаграмме $\sigma \sim \varepsilon$ (рис.6) \overline{U}_r представляет собой площадь, заштрихованную горизонтальными линиями .

Сущность обобщенного метода переменных параметров упругости заключается в следующем: вблизи некоторого значения перемещений U^n функционал полной потенциальной энергии системы P_1 разлагается на ряд Тейлора , причем в разложении учитывается только квадратичные члены.

$$P_1 \approx P_1 = \sum_r F_r \int \left[U(\varepsilon_r^n) + (U')^n \Delta \varepsilon_r + \frac{1}{2} (U'')^n (\Delta \varepsilon)^2 \right] dx - \sum_k U_k P_k. \quad (9)$$

В (9) $U_r = \int_0^n \sigma_r d\varepsilon_r$, а в заданная нелинейная функция представляется в виде

$$\sigma_r = E_{cr} \varepsilon_r. \quad (10)$$

Если материал для всех стержней ферм одинаков , то индекс в выражении (10) можно опустить.

Первая производная от удельной потенциальной энергии деформации по ε определяется выражением

$$U' = \frac{dU}{d\varepsilon} = \sigma = E_C \varepsilon \quad (11)$$

Вторая производная

$$U'' = \frac{d^2 U}{d\varepsilon^2} = \frac{d\sigma}{d\varepsilon} = E_K. \quad (12)$$

$\Delta \varepsilon_r = \varepsilon_r - \varepsilon_r^n$ -приращение деформации в r-м стержне выражается через функцию перемещений по формуле

$$\Delta \varepsilon_r = \frac{dU}{dX} - \frac{dU^n}{dX} = \frac{d}{dx} \Delta U, \quad (13)$$

Где $\Delta U = U - U^n$ – приращение перемещения.

Принимая во внимание (11),(12) перепишем (9) следующим образом

$$\Pi_1 = \sum_r F_2 \int_{(l)} \left[U(\varepsilon_z^n) + \varepsilon^n E_c^n \Delta \varepsilon + \frac{1}{2} E_c^n (\Delta \varepsilon)^2 \right] dx - \sum_k U_k P_k, \quad (9')$$

Разрешающие уравнения метода перемещений получим из условия стационарности квадратичного функционала (9'). Предварительно необходимо деформации выразить через узловые перемещения по формуле (6а).

Условие стационарности функционала (см., например , вариационное уравнение Лагранжа (9)) имеет вид

$$\delta \Pi_1 = 0$$

и эквивалентно вариационному уравнению

$$\frac{\partial \Pi_1}{\partial U_1} \delta U_1 + \frac{\partial \Pi_1}{\partial U_2} \delta U_2 + \dots + \frac{\partial \Pi_1}{\partial U_m} \delta U_m = 0,$$

Откуда в силу независимости и произвольности вариаций получим систему уравнений

$$\frac{\partial \Pi_1}{\partial U_k} = 0 \quad (k=1, 2, \dots, m) \quad (14)$$

Т.к функционал (9!) квадратичный , то система уравнений (14) линейна.

Решение системы линейных алгебраических уравнений (14) принимается за новое приближение U_k^{n+1} . По значениям U_k^{n+1} вычисляются ε_z^{n+1} , σ_z^{n+1} , E_{cz}^{n+1} , E_{KZ}^{n+1} и по (14) определяется новое значение U_k^{n+2} . В начальном приближении полагается $E_{cz}^0 = E_{oz}^0 = E_{oz}$, т.е касательный и секущий модули заменяются начальным модулем упругости.

Линеаризованные уравнения , применяемые в методе Ильюшина А.А., можно получить из итерационных уравнений (14) ,если в выражении для Π_1 заменить касательный модуль $\left(\frac{d\sigma}{d\varepsilon}\right) = E_K^\Pi$ на начальный модуль $\left(\frac{d\sigma}{d\varepsilon}\right) = E_0$, а итерационные уравнения, применяемые в методе Бигера И.А., получаются из (14) , если в приближенном функционале Π_1 заменить касательный модуль E_k^n на секущий E_c^n .

При решении задач методом сил нелинейный функционал Кастилиано так же , как и в методе перемещений , аппроксимируется квадратичным функционалом

$$P_2 \approx \Pi_2 = \sum_{r=1}^s F_r \int_{(l_2)} \left[\bar{U}(\sigma_z^n) + (\bar{U}')^n \Delta \sigma_2 + \frac{1}{2} (\bar{U}'')^n (\Delta \sigma_2)^2 \right] dl, \quad (15)$$

Который должен быть определен на классе статистически возможных векторов внутренних усилий . Подобное изложение применение метода сил будет дано в §4.

В качестве иллюстрации примера обобщенного метода переменных параметров упругости рассмотрим задачу об определении н.д.с. стержня, изображенного на рис. 7. Нелинейная зависимость $\sigma \sim \varepsilon$ принята в виде диаграммы Прандтля с линейным упрочнением. Начальный модуль $E_0=200$; модуль упрочнения $E_1=20$; деформация текучести $\varepsilon_T = 10^{-3}$; отношение величины нагрузки к площади стержня $P/F = 0.8$,

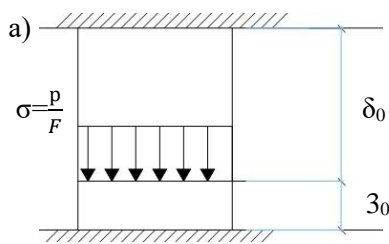


Рис .7.

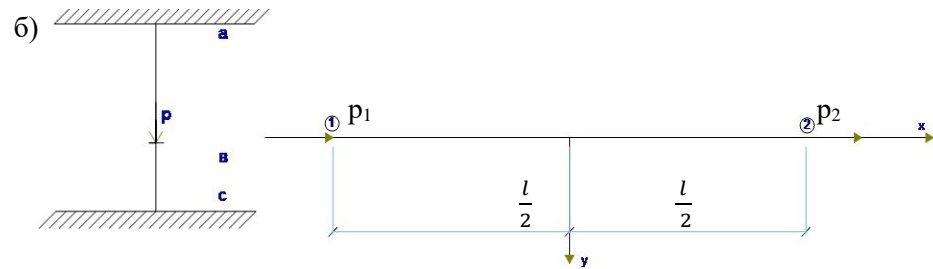


Рис .8.

Решение линейных задач проводится методом конечных элементов в форме метода перемещений . В соответствии с предлагаемым методом Лагранжа линеаризованной задачи для одного элемента (рис.8) запишем так

$$\Pi_1 = \int_{(v)} U_r(\varepsilon^n) + \sigma^n \varepsilon + \frac{1}{2} \Delta \varepsilon + \frac{1}{2} \Delta \varepsilon \left(\frac{d\sigma}{d\varepsilon} \right)^n dv - U_1 P_1 - U_2 P_2.$$

Разрешающая функция U в рассматриваемом случае может быть принята в виде линейного полинома(6а)

$$U = \{1X\} \cdot \begin{bmatrix} \frac{1}{2} & \frac{1}{2} \\ -\frac{1}{l} & \frac{1}{l} \end{bmatrix} \begin{Bmatrix} U_1 \\ U_2 \end{Bmatrix}$$

U_1, U_2 – узловые перемещения ; при этом деформация ε в элементе постоянна

$$\varepsilon = \frac{dU}{dX} = \{01\} \begin{bmatrix} \frac{1}{2} & \frac{1}{2} \\ -\frac{1}{l} & \frac{1}{l} \end{bmatrix} \begin{Bmatrix} U_1 \\ U_2 \end{Bmatrix}.$$

Матричная зависимость между узловыми перемещениями и силами ,которая может быть получена из приближенного вариационного уравнения $\delta \Pi_1 = 0$ и имеет следующий вид

$$k_k \Delta U^{n+1} = \Delta P ,$$

где $k_k = \frac{E_k^n F}{l} \begin{bmatrix} 1 & -1 \\ -1 & 1 \end{bmatrix}$; $\Delta P \begin{Bmatrix} P_1 \\ P_2 \end{Bmatrix} - \frac{E_c^n F}{l} \begin{bmatrix} 1 & -1 \\ -1 & 1 \end{bmatrix} \begin{Bmatrix} U_1^n \\ U_2^n \end{Bmatrix}$

Теперь условие равновесия узла в (рис. 7б)

$$\sum X = 0,$$

Принимая во внимание граничные условия задач ($U_1=U_2=0$). Можно записать в виде

$$\left(\frac{E_{k1}^n F_1}{l_1} + \frac{E_{k2}^n F_2}{l_2} \right) \Delta U_B^{n+1} = P - \left(\frac{E_{C1}^n F_1}{l_1} + \frac{E_{C2}^n F_2}{l_2} \right) U_B^n.$$

Откуда, после подстановки всех величин из условия получим

$$\Delta U_B^{n+1} = \frac{48 - (E_{C1}^n + 2E_{C2}^n) U_B^n}{E_{k1}^n + 2E_{k2}^n}.$$

В первом приближении $E_K = E_C = 200$; $U_B^0 = 0$ $U_B^0 = 0$

$$U_B^1 = \frac{48}{200 + 2 \cdot 200} = 0.08$$

$$\varepsilon_1' = \frac{U_B}{60} = 0,001333; \quad \sigma_1' = 20 \cdot 0,001(3) + 0,18 = 0,20(6);$$

$$\varepsilon_2' = \frac{U_B}{30} = -0,002(6); \quad \sigma_1' = -20 \cdot 0,002(6) - 0,18 = -0,2(3);$$

$$E'_{C1} = \frac{\sigma_1'}{\varepsilon_1'} = 155,0; \quad E'_{k1} = 20;$$

$$E'_{C2} = \frac{\sigma_2'}{\varepsilon_2'} = 87,5; \quad E'_{k2} = 20;$$

Во втором приближении

$$\Delta U_B^2 = 0,3599 \approx 0,36; \quad U_B^2 = U_B^1 + \Delta U_B^2 = 0,44.$$

В третьем приближении $\Delta U_B^3 = 0$, т.е окончательное решение задачи

$$U_B = 0,44 \quad (\sigma_1 = 0,32(6)).$$

Итерационный процесс Биргера получим из (15), если положить

$E_K = E_c$ и $U^n = 0$

$$U_b^{n+1} = \frac{48}{E_{C1}^n + 2E_{C2}^n}$$

В табл.1 сведены результаты расчета по формуле (16); Для получения приемлемой точности по методу Биргера понадобилось девять итераций ($U=0,437$), по предлагаемому методу-две итерации.

Нелинейное разрешающее уравнение рассматриваемой задачи можно получить, используя «точное» вариационное уравнение $\Delta\Pi_1=0$

$$R=(2E_{c2} + E_{c1})U-48=0.$$

На рис.9 показан график зависимости $R=R(U)$, сплошной тонкой линией – итерационный процесс Бигера, пунктирной тонкой линией – предлагаемый итерационный процесс.

Таблица 1

№ N	U	ϵ_1^U	ϵ_2^U	E_{C1}^{Π}	E_{C2}^{Π}
1	0,08	0,001333	-0,00267	155	87,5
2	0,1454	0,002424	-0,004848	94,26	57,13
3	0,2302	0,003837	-0,007673	66,92	43,46
4	0,3120	0,005200	-0,01040	54,61	37,31
5	0,3714	0,006190	-0,01236	49,08	34,54
6	0,4063	0,006771	-0,01354	46,58	33,29
7	0,4241	0,007069	-0,01413	45,46	32,73
8	0,4327	0,007212	-0,01442	44,96	32,48
9	0,4367	0,007278	-0,01456	44,73	32,37
	0,44	0,007(3)	-0,014(6)	446(54)	32(27)

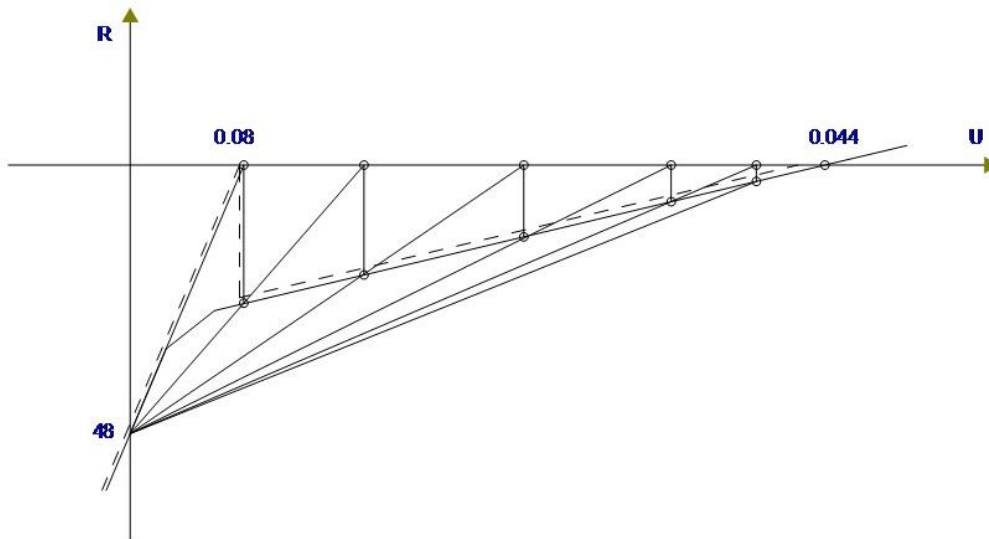


Рис.9.

Решим эту же задачу методом сил. Принимаем распределение напряжений внутри каждого элемента постоянным- в первом элементе $\sigma = \sigma_1$; во втором $\sigma = \sigma_2$. При этом уравнение равновесия внутри каждого элемента

$$\frac{d\sigma}{dx} = 0, \epsilon V$$

Удовлетворительная ; кроме того, из условия равновесия узла В

$$\sigma_2 = \sigma_1 - 0,8, \epsilon S,$$

Таким образом вектор напряжений $\sigma^T = \{\sigma_1 \sigma_2\}$ является статически возможным .

Приближенный функционал Кастилиано

$$\Pi_2 = - \left[\frac{Fl_1}{E_{c1}^n} \sigma_1^n \cdot \Delta\sigma_1 + \frac{1}{2} \frac{Fl_1}{ER_1} \Delta\sigma_1^2 + \frac{Fl_2}{E_{c2}^n} (\sigma_1^n - 0,8) \Delta\sigma_1 + \frac{1}{2} \frac{Fl_2}{E_{k2}^n} \Delta\sigma_1^2 \right]. \quad (17)$$

Разрешающее уравнение получим из условия стационарности функционала (17)

$$\frac{d\Pi_2}{d\sigma_1} = \frac{\sigma_1^n F}{E_{c1}^n E_{c2}^n} (E_{c2}^n l_1 + E_{c1}^n l_2) - \frac{0,8F}{E_{c2}^n} + \Delta\sigma_1 F \frac{E_{k2}^n l_1 + E_{k1}^n l_2}{E_{k1}^n E_{k2}^n}.$$

Откуда,

$$\Delta\sigma_1 = \frac{E_{k1}^n E_{k2}^n}{E_{c1}^n E_{c2}^n} \left[\frac{0,8 E_{c1}^n}{2 E_{k2}^n + E_{k1}^n} - \sigma_1^n \frac{2 E_{c2}^n + E_{c2}^n}{2 E_{k2}^n + E_{k1}^n} \right] \quad (18)$$

В первом приближении

$$\sigma_1^0 = 0; \quad \sigma_2^0 = -0,8;$$

$$E_{c1}^0 = 200; \quad E_{c2}^0 = 20 \frac{\sigma_1 - 0,8}{\sigma_1 - 0,62} = 25,61$$

$$E_{k1}^0=200; \quad E_{k2}^0=20;$$

$$\Delta\sigma_1^1=0,51(6).$$

Во втором приближении

$$\sigma_1^1=0,51(6); \quad \sigma_2^1=-0,26(3);$$

$$E_0^1 = 30,693; \quad E_{c2}^1 = 54,839;$$

$$E_{k1}=20; \quad E_{k2}=20;$$

$$\Delta\sigma_1^2=0,19.$$

В третьем приближении $\Delta\sigma_1^3=0$.

$$\text{Окончательно } \sigma_1=\sigma_1^n + \Delta\sigma_1^1 + \Delta\sigma_1^2 = 0,32(6)$$

(«точное» решение).

§3 Расчет ферм из физически-нелинейного материала обобщенным методом переменных параметров упругости с использованием метода перемещений.

Связь между узловыми усилиями и перемещениями, полученная в §2, имеет вид

$$\frac{E_k^n F}{l} L_1 \Delta U^{n+1} + \frac{E_c^n F}{l} L_1 U^n = P, \quad (19)$$

Где

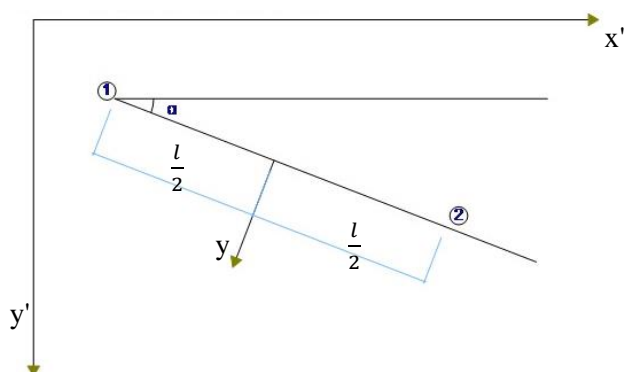


Рис.10.

Для произвольно ориентированного стержня плоской фермы (рис.10) после преобразования характеристик элемента от местной к общей системе координат зависимость типа(18) запишем так

$$\frac{E_k^n F}{l} L \Delta U^{n+1} + \frac{E_c^n F}{l} L U^n = P, \quad (20)$$

Где $U^T=\{u_1 v_1 u_2 v_2\}$; $P^T=\{P_1 Q_1 P_2 Q_2\}$;

$$L = \begin{bmatrix} m_1^2 & m_1 m_2 & -m_1^2 & -m_1 m_2 \\ m_1 m_2 & m_2^2 & -m_1 m_2 & -m_2^2 \\ -m_1^2 & -m_1 m_2 & m_1^2 & m_1 m_2 \\ -m_1 & -m_2^2 & m_1 m_2 & m_2^2 \end{bmatrix};$$

$m_1 m_2$ - направляющие косинусы (косинусы углов, образованных положительными направлениями осей стержня и X' общей системы координат).

Зависимость (20) позволяет использовать стандартные способы формирования ОМЖ и нагрузочного вектора.

В учебных целях для ручного расчета целесообразно использовать каноническую форму метода перемещений. Система канонических уравнений на (n+1) шаге итерационного процесса имеет следующий вид

$$\sum_{j=1}^n r_{ij}^n \Delta z_j^{n+1} + \sum_{j=1}^k \bar{r}_{ij}^n z_j^n + R_{ip} = 0; (i=1, 2, \dots, k), \quad (20)$$

Где r_{ij}^h, \bar{r}_{ij}^h – реакция в i-й наложенной связи от j-го единичного перемещения, вычисленные по касательному и секущему модулю упругости соответственно:

$$\Delta z_j^{n+1} = z_j^{n+1} - z_j^n;$$

z_j^{n+1} – искомое перемещение в направлении j-й наложенной связи, определенное на предыдущем n-м шаге итерационного процесса;

R_{ip} – реакция в i-й наложенной связи, вызванная заданной внешней нагрузкой.

Матричная зависимость (19) имеет всю необходимую информацию для составления таблиц метода перемещений. Ниже приводится таблица реакций в стержне фермы как в элементе основной системы.

Концевые силы схема	Концевые силы			
	P_{1i}	Q_{1i}	P_{2i}	Q_{2i}
	$k_i m_1^2$	$k_i m_1 m_2$	$-k_i m_1^2$	$-k_i m_1 m_2$
	$-k_i m_1^2$	$-k_i m_1 m_2$	$k_i m_1^2$	$k_i m_1 m_2$

	$k_i m_1 m_2$	$k_i m_1^2$	$-k_i m_1 m_2$	$-k_i m_1^2$
	$-k_i m_1 m_2$	$-k_i m_1^2$	$k_i m_1 m_2$	$k_i m_1^2$

В таблице индекс I принимает значение 1 и 2

$$K_1 = \frac{E_k^n F}{l}; \quad K_2 = \frac{E_k^n F}{l}; \quad m_1 = \cos \alpha; \quad m_2 = \sin \alpha;$$

$$P_{a1} = P_1; \quad P_{a2} = P_2;$$

$$Q_{a1} = Q_1; \quad Q_{a2} = Q_2;$$

В начальном приближении в (20) полагается $E_k = E_c = E_0$, т.е. рассчитывается ферма из линейно-деформируемого материала с начальным модулем E_0 . Узловые перемещения на $(n+1)$ шаге определяются по формуле

$$Z^{n+1} = Z^0 + \sum_{i=1}^{n+1} \Delta Z^i.$$

Окончание итерационного процесса можно назначить либо по относительной погрешности перемещений в каждом узле

$$\frac{\Delta Z^{n+1}}{Z^n} < \mu, \quad (21)$$

Либо по относительной сосредоточенности погрешности перемещений.

$$\frac{\sqrt{\sum_{i=1}^k (\Delta Z_i^{n+1})^2}}{\sqrt{\sum_{i=1}^k (Z_i^n)^2}} < \mu_2 \quad (22)$$

Где μ_1, μ_2 – заранее заданные числа . Условие (22) менее жесткое и обычно применяется в тех задачах , где предполагается большой разброс в абсолютных величинах перемещений .

Основной проверкой, как и при решении линейных задач , является статическая ; выполняется она на последнем шаге итерационного процесса. Если погрешность статических уравнений в проверке не удовлетворяет заданной точности , то необходимо уменьшить число μ_1 (или μ_2) и продолжить итерационный процесс.

Пример 1. Определить н.д.с. фермы (рис.11.) . Все стержни фермы имеют одинаковую площадь F . Диаграмма $\sigma \sim \epsilon$ материала фермы показана на рис.12. Начальный модуль упругости $E_0=2 \cdot 10^6$;

Модуль упрочнения $E_1=2 \cdot 10^3$; $\epsilon_T=10^{-3}$; $\sigma_T=2 \cdot 10^3$.

Номера стержней показаны на рис 11 в кружках. Внешняя нагрузка P численно равна $2800F$.

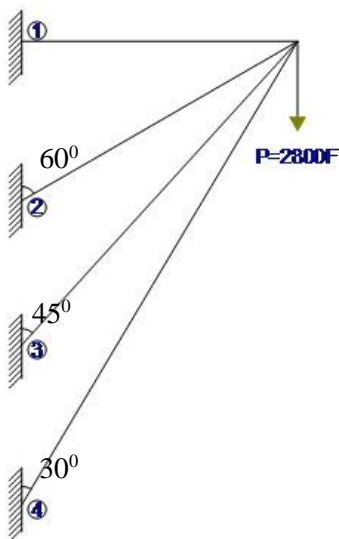


Рис.11.

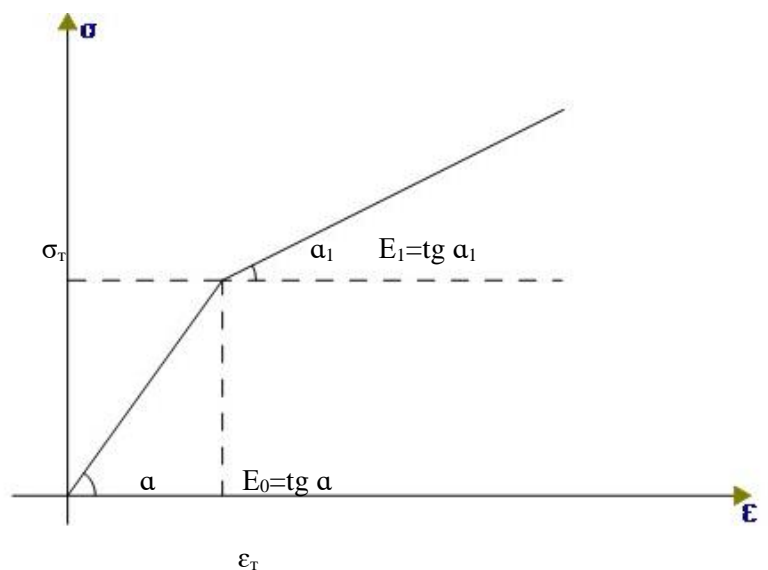


Рис .12

Напряжения вычисляются по формулам

Если $-10^{-3} < \epsilon < 10^{-3}$, то $\sigma = 2 \cdot 10^6 \epsilon$.

Если $\epsilon \geq 10^{-3}$, то $\sigma = 2 \cdot 10^3 (\epsilon + 0,999)$.

Если $\epsilon < -10^{-3}$, то $\sigma = 2 \cdot 10^3 (\epsilon + 0,999)$.

Деформация в произвольном элементе фермы

$$\varepsilon = \frac{1}{l} \{-m_1 - m_2 m_1 m_2\} \cdot \begin{pmatrix} U_1 \\ V_1 \\ U_2 \\ V_2 \end{pmatrix}$$

В первом приближении система уравнений (20) имеет следующий вид

$$\frac{E_0 F}{l} \begin{bmatrix} 0.9451 & -0.9451 \\ -0.9451 & 2.128 \end{bmatrix} \begin{pmatrix} z_1^0 \\ z_2^0 \end{pmatrix} = \begin{pmatrix} P \\ 0 \end{pmatrix};$$

$$\text{Решение } -z_1^0 = 1.903 \frac{Pl}{E_0 F}; \quad -z_2^0 = 0.8453 \frac{Pl}{E_0 F}.$$

Во втором приближении

$$\frac{E_0 F}{l} \begin{bmatrix} 0.9451 & -0.9451 \\ -0.9451 & 1.129 \end{bmatrix} \begin{pmatrix} \Delta z_1^1 \\ \Delta z_2^1 \end{pmatrix} = \begin{pmatrix} 0 \\ 0.1304 P \end{pmatrix},$$

$$\text{Решение } \Delta z_1^1 = \Delta z_2^1 = 0.7087 \frac{Pl}{E_0 F}.$$

В третьем приближении

$$\frac{E_0 F}{l} \begin{bmatrix} 0.5704 & -0.7288 \\ -0.7288 & 1.004 \end{bmatrix} \begin{pmatrix} \Delta z_1^2 \\ \Delta z_2^2 \end{pmatrix} = \begin{pmatrix} 0.02447 P \\ 0.01368 P \end{pmatrix}.$$

$$\text{Решение } \Delta z_1^2 = 0.3501 \frac{Pl}{E_0 F}; \quad \Delta z_2^2 = 0.2404 \frac{Pl}{E_0 F}.$$

В четвертом приближении

$$\Delta z_1^3 \approx 0; \quad \Delta z_2^3 \approx 0;$$

В табл.3 приведены результаты вычисления перемещений на каждом шаге итерационного процесса. Индекс при ε, σ , указывает номер стержня, в котором эта величина определена. В знаменателях дробей в первой колонке приведены напряжения линейно-упругого решения ($E_K = E$).

Статическая проверка (рис .13) $\sum x = 0; \sum y = 0;$

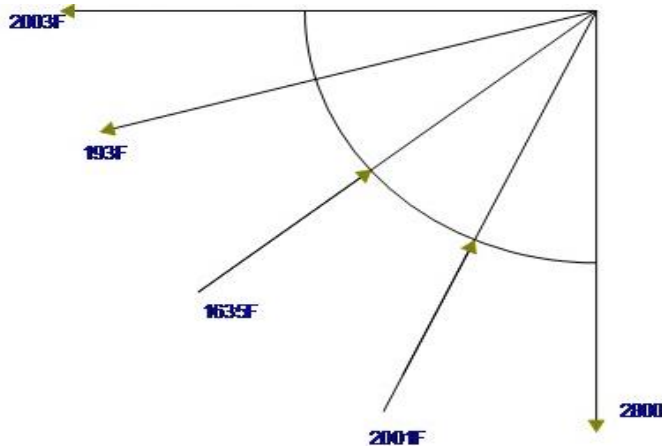


Рис. 13

Компоненты н.д.с.	Номер итерации		
	1	2	3
Z ₁	1.903	2.612	2.692
Z ₂	0.8453	1.552	1.794
ε ₁	0.1183·10 ⁻²	0.2176·10 ⁻²	0.2512·10 ⁻²
ε ₂	-0.2663·10 ⁻³	0.4817·10 ⁻⁴	0.9750·10 ⁻⁴
ε ₃	-0.7407·10 ⁻³	-0.7407·10 ⁻³	-0.8174·10 ⁻³
ε ₄	-0.8580·10 ⁻³	-0.1040·10 ⁻²	0.1163·10 ⁻²
σ ₁	$\frac{2000}{2366}$	2003	2003
σ ₂	$\frac{-532.6}{-532.6}$	96.3	194
σ ₃	$\frac{-1481}{-1481}$	-1481	-1635
σ ₄	$\frac{-1716}{-1716}$	-2001	-2001

Анализ результатов счета показывает, что учет физической нелинейности материала позволяет уточнить не только количественные характеристики н.д.с., но и выявить новые качественные результаты - напряжение во втором стержне в линейном расчете этот стержень растянут.

§4. Метод сил

Построение итерационного процесса основано на представлении нелинейного функционала в виде квадратичного

$$\Pi_2 = - \int_{(v)} \left[\bar{u}(\sigma^n) + \bar{u}^1(\sigma^n) \Delta\sigma + \frac{1}{2} \Delta\sigma^T H_2^n \Delta\sigma \right] dv. \quad (23)$$

Обозначаем продольные силы, возникающие в стержнях фермы, через $X_r = \sigma_r \cdot F_r$. По-прежнему предполагается в пределах одного стержня площадь F_r постоянна. Приближенный функционал Кастилиано (23), принимая во внимание принятое обозначение, для ферм приобретает следующий вид

$$\Pi_2 = \sum_{r=1}^3 \int_{(v)} \bar{u}_r(\sigma_r^n) dv + (\Delta x^{n+1})^T \cdot L_C X^n + \frac{1}{2} (\Delta x^{n+1})^T L_K \Delta X^{n+1}. \quad (24)$$

В (24) приняты обозначения

$$X^T = \{X_1 X_2 \dots X_5\}$$

$$L_a = \begin{bmatrix} \frac{L_1}{E_{a1F_1}} & 0 \\ \vdots & \vdots \\ 0 & \frac{L_S}{E_{aS F_S}} \end{bmatrix} \quad (a = C, K);$$

S-число стержней фермы.

Внутри одного элемента уравнение равновесия $\frac{d\sigma}{dx}=0$ удовлетворяется, т.к в пределах любого r-го стержня $\sigma_r = const$. Уравнение совместности усилий на

$$A_S^T \sigma = g_s \quad \text{с,}$$

В рассматриваемом случае является уравнениями статики, которые можно записать в виде

$$\begin{matrix} c & x & p \\ (m \times s) & (s \times 1) & (m \times 1) \end{matrix} \quad (25)$$

Где m- число линейно-независимых уравнений статики.

Для статически определимых и геометрически неизменяемых систем матрица C квадратная и невырождена ; внутренние усилия в стержнях фермы определяются решением уравнения

$$(25)-x=c^{-1} p, \text{ В статически неопределимых фермах матрица C прямоугольная размером}$$

$m \times s (m < s)$. Выберем в C_m столбцов так, чтобы определитель матрицы C_1 , составленный из этих столбцов, был отличен от нуля . Иными словами, вектор внутренних усилий X представим в виде «зависимых» y и «независимых» x внутренних сил. Такое разделение внутренних сил соответствует в строительной механике стержневых систем выбору основной системы или назначению лишних неизвестных

Перепишем (25) в следующем виде

$$O_1 y + c_2 x = p. \quad (26)$$

$$\text{Откуда } y = c_1^{-1} (p - c_2 x)$$

$$\text{Введем обозначения } C_1^{-1} P = B_r; \quad -c_1^{-1} \cdot C_2 = B_0$$

Тогда (26) перепишем так

$$Y = B_0 X + B_r p. \quad (27)$$

Подставляя (27) в (24) получим

$$\Pi_2 = \sum_{r=1}^S \int_{(v)} \bar{u}_r(\sigma^n) dv + \begin{bmatrix} B_0 \Delta X^{n+1} \\ \Delta X^{n+1} \end{bmatrix} \begin{bmatrix} L_{C1} & 0 \\ 0 & L_{C2} \end{bmatrix} \begin{bmatrix} B_0 X^n + B_r \\ X^n \end{bmatrix} + \frac{1}{2} \begin{bmatrix} B_0 \Delta X^{n+1} \\ \Delta X^{n+1} \end{bmatrix} \begin{bmatrix} L_{C1} & 0 \\ 0 & L_{C2} \end{bmatrix} \begin{bmatrix} B_0 \Delta X^{n+1} \\ \Delta X^n \end{bmatrix}$$

Или

$$\Pi_2 = \sum_{r=1}^S \int \bar{u}_r(\sigma^n) dv + (\Delta x^{n+1}) (L_{c2} + B_0^T L_{c1} B_0) X^0 + (\Delta X^{n+1})^T B_0^T L_{c1} B_p + \frac{1}{2} (\Delta X^{n+1}) (L_{c2} + B_0^T L_{c1} B_0) \Delta X^{n+1}.$$

Подставим выражение $L_{k2} + B_0^T L_{k1} B_0$ в следующем виде

$$L_{k2} + B_0^T L_{k1} B_0 = \begin{bmatrix} B_0 \\ E \end{bmatrix}^T \begin{bmatrix} L_{k1} & 0 \\ 0 & L_{k2} \end{bmatrix} \begin{bmatrix} B_0 \\ E \end{bmatrix}. \quad (29)$$

Где E - единичная матрица размером $(L \times L)$; L -число лишних неизвестных

$$\text{Элементы матрицы } \begin{bmatrix} B_0 \\ E \end{bmatrix} = \bar{N}_0 \quad (30)$$

Представляют собой внутренние усилия в стержнях основной системы фермы, возникающие от единичных значений лишних неизвестных.

Принимая во внимание (30), перепишем (29) в виде

$$L_{k2} + B_0^T L_{k1} B_0 = \bar{N}_0^T L_k \bar{N}_0; \quad (31)$$

Аналогично

$$L_{c2} + B_0^T L_{c1} B_0 = \bar{N}_0^T L_c \bar{N}_0 \quad (32)$$

И

$$B_0^T L_{c1} B_p = \bar{N}_0^T L_c N_c, \quad (33)$$

Где $N_p = \begin{bmatrix} B_p \\ 0 \end{bmatrix}$ - усилия в стержнях основной системы фермы, возникающие от заданной внешней нагрузки. Последние L строк матрицы N_p равны нулю. Элементы этих строк являются величинами усилий в устраненных связях от заданной внешней нагрузки.

Подставляя (31)-(33) в (28), получим

$$\Pi_2 = \sum_{r=1}^S \int \bar{u}_r(\sigma^n) dv + (\Delta x^{n+1}) \bar{N}_0^T L_c \bar{N}_0 X^0 + (\Delta X^{n+1})^T \bar{N}_0^T L_c N_0 + \frac{1}{2} (\Delta X^{n+1})^T \bar{N}_0 L_k \bar{N}_0 \Delta X^{n+1}.. \quad (34)$$

Функционал (34) теперь определен на классе статически возможных векторов внутренних усилий. Принятое распределение внутренних усилий удовлетворяет уравнениям равновесия внутри любого стержня и условиям совместимости усилий на S_1 .

Разрешающее уравнение метода сил получим из условия стационарности функционала (34).

$$\frac{d\Pi_2}{d(\Delta X^{n+1})} = 0$$

Или

$$\bar{N}_0^T L_K \bar{N}_0 \Delta X^{n+1} + \bar{N}_0^T L_c \bar{N}_0 \Delta X^n + \bar{N}_0^T L_c N_p = 0. \quad (35)$$

Характер экстремума функционала (34) можно определить , исследовав знак второй производной

$$\frac{d\Pi^2}{d(\Delta X^{n+1})^2} = \bar{N}_0^T L_K \bar{N}_0. \quad (36)$$

Квадратичная форма (36) положительно определена , если выполнены условия

$$E_{nr} > 0 \quad (r=1, 2, \dots, s),$$

Т.е угол наклона касательной в любой точке графика функции $\sigma = \sigma(\epsilon)$ должен быть положительным.

Таким образом , функционал Π_2 достигает минимума на решении задачи, если выполнены условия (37).

В соответствии с теоремой Кастилиано по механическому смыслу уравнения (35) представляют собой условия совместимости перемещений на каждом шаге итерационного процесса по направлению устраненных связей или, что эквивалентно , по направлению лишних неизвестных обобщенных сил равны нулю.

Вычислительный процесс по (35) ведется до стабилизации решения с заданной точностью , либо до выявления его неустойчивости . Окончательные значения усилий в установленных связях определяются по формуле

$$X_r^{n+1} = X_r^0 + \sum_{i=1}^{n+1} \Delta X_r^i,$$

Продольные силы в стержнях фермы на (n+1) шаге итерационного процесса

$$N^{n+1} = \bar{N}_0 X^{n+1} + N_p$$

Основной проверкой правильности решения в методе сил , является кинематическая проверка.

После определения н.д.с. системы материал в сооружении можно считать линейно упругим , но в каждой расчетной точке или области (для фермы – в каждом стержне , имеющим свой модуль упругости – секущий модуль , - определенный в процессе решения задачи. Поэтому перемещения в любой точке фермы могут быть определены по формуле Мора

$$\tilde{\Delta}_{ip} = \sum_{r=1}^s \frac{\bar{N}_{ir} N_r l_r}{E_{cr} l_r}, \quad (38)$$

Где \bar{N}_{ir} - продольная сила в r-м стержне , определенная в любой основной системе метода сил от единичной силы, приложенной по направлению i-й установленной связи.

Каноническая форма уравнения (35) может быть представлена в следующем виде

$$\sum_{j=1}^l \delta_{ij}^{n+1} \Delta X_j^{n+1} + \sum_{j=1}^l \delta_{ij}^n \Delta X_j^n + \Delta_{ip} = 0. \quad (39)$$

$I=(1,2,\dots,l)$,

Где $\delta_{ij}^{n+1} = \sum_{r=1}^s \frac{\bar{N}_{ir} \bar{N}_{jr} l_r}{F_{kr} F_r}$

-перемещение точки приложения силы X_j по ее направлению , вызванное силой $X_j=I$;

Величина $\Delta_i = \sum_{j=1}^l \delta_{ij}^n X_j^n + \Delta_{ip}$ –перемещение точки приложения силы X_i по ее направлению , обусловленное несоответствием достигнутого уровня внутренних сил т внешней нагрузки.

Пример 2. Расчет фермы, по условию примера 1. Методом сил приводит к тому, что на некотором итерационном шаге система разрешающих уравнений (39) становится плохо обусловленной, а затем вырождается . Объясняется это тем, что при формировании коэффициентов канонических уравнений δ_{ij} вклад одного стержня , находящегося на стадии упрочнения , становится очень большим и поэтому податливости этого стержня становятся настолько велики , что доминируют над всеми остальными. Поэтому в качестве иллюстрированного примера рассчитывается ферма с геометрическими параметрами по пример 1. а модуль упрочнения принят $E=1 \cdot 10^6$. Напряжение в г-м стержне на (n+1) шаге итерационного процесса определяется по формуле $\sigma_r^{n+1} = \frac{x_i^{n+1}}{F}$;

Деформации в стадии упрочнения подсчитываются по формуле

$$\epsilon^{n+1} = \frac{\sigma^{n+1} \pm \sigma_T}{E_K} \pm \epsilon_T.$$

Здесь, верхний (нижний) знак применяются при определении деформации растяжения (сжатия) . Основная система показана на рис 14. Результаты расчета сведены в табл 4.

На третьем итерационном шаге $\Delta X^3=0$

Параметры н.д.с	В основной системе	Номер итерации	
		1	2
X_1	0	-0,3086	-0,1598
X_2	0	-0,7106	-0,5291
N_1	0.5774	-0,9679	0,8277
N_2	0	-0,3086	-0.1598
N_3	0	-0,7106	-0.5291
N_4	-1,1547	-0,3963	-0,6304
σ_1	1616,6	2710.1	2317,7
σ_2	0	-864.1	-447,5
σ_3	0	-1989.8	-1481,4
σ_4	-3233,2	-1109.6	-1765,2

При счете в мантиссе каждого числа оставлялось семь значащих цифр, а в таблице приведены округленные значения .

Основная система метода сил для кинематической проверки показана на рис 15.

Относительная погрешность при определении $\tilde{\Delta}_{ip}$ составила $\approx 4.2 \cdot 10^{-4} \%$ при определении $\tilde{\Delta}_{zp} - 1.6 \cdot 10^{-6} \%$.

Выводы.

В заключение отметим следующий факт, подтвержденный следующими экспериментами : метод сил рекомендуется применять в расчетах системы из размягчающего материала со слабой нелинейностью зависимости $\sigma - \epsilon$. либо для систем из затвердевшего материала у которого касательный модуль в стадии упрочнения больше секущего. Наоборот, метод перемещений дает лучшие результаты по технической сходимости итерационного процесса в сравнении с методом сил для размягчающихся материалов ($E_k < E_c$) . Наиболее распространенные строительные материалы: металл, бетон, дерево и т.д имеют диаграммы $\sigma - \epsilon$, у которых $E_k < E_c$, поэтому при решении более сложных задач целесообразно применять метод перемещений .

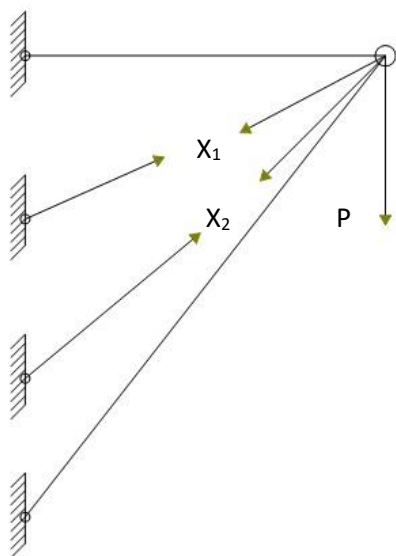


Рис.14

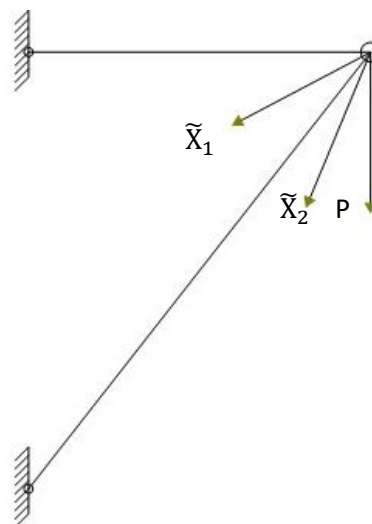


Рис.15.